

تأثير الضغط على نمط الابتلال في تربة طباقية النسجة لمصدر تنقيط مدفون تحت سطح التربة

محمد طارق خليل

مدرس مساعد / موارد مائية

الكلية التقنية / قسم هندسة تنقيط الحاسوب / الموصل

الملخص

تم في هذا البحث إجراء تجارب مختبرية لدراسة تأثير الضغط التشغيلي على نمط الابتلال لترابة طباقية لمصدر منقط مدفون تحت سطح التربة ، حيث تساعد هذه الدراسة تحديد الضغط التشغيلي المناسب لمنظومة الري وفي تحديد الفاصلة المناسبة بين المنقاط وبين أنابيب التنقيط . تم إجراء الدراسة باستخدام نوعين من الترب (طينية ومزيجية) وعند ثلات ضغوط تشغيلية (4.99 و 9.99 و 16.14 م) وتصريف منقط اسمي (2 لتر/ساعة) . وقد تم إعداد مقاطع الترب بتعاقبين مختلفين لطبقتي التربة (طينية فوق مزيجية ومزيجية فوق طينية) . أظهرت الدراسة بأن هناك ضغطاً عكسيًا موجباً يتولد في التربة نتيجة إضافة الماء بمعدل عالي يفوق سعة التربة لارتفاع الماء ، وأن قيم تصريف المنقط الفعلية كانت أقل من قيم تصريف المنقط المستحصلة من معادلة خصائص منخلي المنقط بحدود (10%-28%) وذلك بسبب تأثير الضغط العكسي . وقد رُصد خروج الماء إلى سطح التربة بما يعرف (Chimney Effect) عند الضغط التشغيلي العالي (16.14 م) وعند وضع التربة المزيجية فوق الطينية، نتيجة زيادة معدل إضافة الماء عند ذلك الضغط التشغيلي بصورة تفوق قابلية التربة على نشره خلالها . وقد وجد أن المساحة الكلية للابتلال لم تتأثر بشكل ملحوظ بقيمة الضغط التشغيلي وذلك لنفس كمية الارتفاع التراكمية . وقد لوحظ في علاقة تقدم جبهة الابتلال ($a t^b$) أن الثابت b لا يتغير بزيادة الضغط التشغيلي بينما تزداد قيمة الثابت a مع تلك الزيادة .

Pressure effect on wetting pattern in layered soil for subsurface point source

T.M. Khalil

Assistant lecturer / Water Resources
Technical College

Abstract

Laboratory experiments were carried out to investigate the effect of operating pressure on wetting pattern in layered soil for subsurface point water source. This study helps to determine a suitable operating pressure and appropriate spacing between emitters and drip lateral pipes. The layered soil profiles were prepared using two types of soil (clay and loam) in two combinations (clay over loam and loam over clay) . Three operation pressures (4.99, 9.99 and 16.14, m) with a nominal dripper discharge rate (2 l/hr) were used. The experimental results showed that positive back pressure around dripper outlet develops, when the water application rate is larger than the soil infiltration capacity , and the actual dripper discharges were less than the rated dripper discharges by about (10%-28%) due to back pressure effect . Furthermore, it has been observed that water start rising up to the soil surface (Chimney Effect) when the operating pressure is (16.14m) for the loam over clay soil profile, which occurs when water application rate exceeds the soil capability to spread the water. It is found that the total wetted area for both layers was not affected by the operation pressure for the same volume of applied water. In the relationship of the wetting advance ($a t^b$) , it is found that , the constant (b) is not effected by operation pressure while the constant (a) increased with increased operation pressure .

Key Wards: Pressure wetting pattern, Subsurface Soil, Soil infiltration

المقدمة

يعد الري بالتنقيط تحت سطح التربة من اكفاء طرق الري وذلك لقلة فوائد التبخر من سطح التربة حيث يكون السطح جاف نسبياً ، بالإضافة إلى قدرته على إيصال الماء والمغذيات مباشرة إلى المنطقة الجذرية [1]. إن حجم التربة المبنية في الري بالتنقيط تحت سطح التربة يعتمد على خصائص التربة ونظام الجرعات ، وان أكبر نمط ممثل يوجد في مدى الترب متوسطة النسجة ، وان اصغر حجم ممثل يوجد في الترب الخشنة والناعمة النسجة [2]. وقد اختبر الباحثون [3] حقولا تأثير الضغط العكسي (Back pressure) لماء التربة على مقدار تصريف المقطع لثلاث ترب وباستخدام نوعين من المقطفات . وقد ذكر الباحثون بأنه عندما يكون التصريف المحدد للمقطع أكبر من سعة ارتشاح التربة يزداد ضغط الماء عند مخرج المقطع (Droper outlet) ويمكن ان يصبح موجباً ، وأنه عند نشوء هذا الضغط الموجب (الضغط العكسي) في التربة يؤدي ذلك إلى انخفاض اندار الضغط خلال المقطع وبالتالي ينخفض تصريف المقطع بأسلوب يعتمد على خصائص منحني المقطع (P - Q) . كما ذكر الباحثون ان مقدار الانخفاض بالتصريف يعتمد على نوع التربة (التربة ذات الايصالية الواطئة يكون الانخفاض أكبر) وعلى تصريف المقطع والتوجيف القريب من مخرج المقطع وخصائص نظام التنقيط . إن من اهم المشاكل المصاحبة لنظام الري بالتنقيط تحت سطح التربة (Subsurface drip irrigation (SDI)) هو الفحصان الحاصل في التصريف الفعلي للمنقط بسبب نشوء الضغط الموجب عند مخرج المقطع بالإضافة إلى مشكلة خروج الماء إلى سطح التربة (Surfacing) أو تسمى أحيانا (Chimney effect) او (Chimneying) وتكون بركة ماء على السطح ، حيث تؤدي هذه المشكلة الى خسارة اهم ميزات نظام التنقيط تحت سطح التربة وهيبقاء السطح جافاً وقلة فوائد التبخر . إن هذه المشكلة يمكن تجاوزها من خلال اختيار مقطفات ذات معدلات إضافة تتوافق مع الخواص الهيدروليكيه للتربة . وقد ذكر الباحثون [4] أسلوب آخر لتجاوز هذه المشكلة تمثل نظريا بتوفير ظروف لا يرتفع عندها الضغط الموجب عند مخرج المقطع ، حيث اقترح هؤلاً الباحثون طريقة تضمنت حفر خندق في التربة ثم ملئه بالحصى على أن يتم وضع أنبوب التنقيط بالقرب من قاع الخندق وجاءت تحت تسمية (GRAV) . وقد اختبرت هذه الطريقة حقوليا لمدة سبع سنوات حيث قورنت مع نظام الري بالتنقيط تحت سطح التربة التقليدي (SDI) ، واحتبرت أيضاً باستعمال نموذج محاكاة عددي (HYDRUS-2D) لغرض تقييم تأثير نسجة التربة وأبعاد الخندق على أنماط توزيع الماء لمصدر منقط مدفون تحت سطح التربة . وقد وجد من خلال نموذج المحاكاة العددي انه في التربة ذات قيمة الايصالية المنخفضة يتطلب زيادة حجم الخندق لضمان عدم نمو الضغط الموجب في التربة ، وقد وجد أيضاً إمكانية تقليل عمق المقطفات مع حدوث منطقة تشيع قريبة من سطح التربة من خلال زيادة عرض الخندق .

وقد قام الباحثان [5] بدراسة حلية لأنماط الابتلال لأنابيب فخارية مدفونة تحت السطح عند ضغوط تشغيلية مختلفة ، وقد تمت دراسة تأثير عوامل عديدة (تضمنت الضغط التشغيلي وعمق نصب الأنابيب والتبخر ونسجة التربة ونسبة التربة والترسب الطباقيه) على أنماط ابتلال التربة وذلك باستخدام نموذج المحاكاة العددي HYDRUS . وقد وجد ان حجم التربة المبنية يزداد بزيادة الضغط التشغيلي لنظام الري وذلك بسبب زيادة تدفق الماء من جدران الأنابيب الفخارية عند زيادة الضغط ، وقد وجد ان نصب الأنابيب الفخارية باعماق ضحلة يجعل جبهة الابتلال تصل سريعاً إلى سطح التربة وهذا يؤدي إلى زيادة انتشار الماء أفقياً أي أن هناك علاقة عكسية بين عمق نصب الأنابيب الفخارية والمسافة الجانبية بين هذه الأنابيب ، كما وجد أن عمق جبهة الابتلال يزداد في الترب خشنة النسجة مقارنة بالترسب ناعمة النسجة بسبب الإيصالية الهيدروليكيه العالية للترب ذات النسجة الخشنة ، وفي حالة الترب طباقية النسجة وجد أن انتشار جبهة الابتلال الأفقي يزداد في الترب ناعمة النسجة بغض النظر فيما كانت بالطبقة العليا أو السفلية .

وقد اجرى الباحثون [6] تجارب مختبرية لدراسة العوامل التصميمية المؤثرة على أنماط رطوبة التربة لمصدر منقط مدفون تحت سطح التربة ، كما استخدمو نموذج محاكاة عددي باستخدام (SWMS-2D) لتعظيم كفاءة حفظ الماء في التربة . وقد أظهرت الدراسة أن تأثير الضغط العكسي كان واضحاً من خلال ملاحظة الاختلافات الحاصلة في تصريف المقطع في التربة عند مقارنتها تصريف المقطع على السطح .

إن إضافة الماء تحت ضغوط تشغيلية عالية يؤثر سلباً على بناء التربة للمنطقة المحيطة بأنابيب الري بالتنقيط تحت سطح التربة مما يؤثر وبالتالي على كفاءة وانتظام الري (Effeciency and uniformity of Irrigation) بسبب حدوث (Surfacing) الموضح أعلاه ، ولخلق ظروف مستقرة حول هذه الأنابيب وتحسين ظروف بناء التربة على المدى الطويل اقترح الباحثان [7] في دراسة مختبرية إضافة مواد محسنة لخواص بناء التربة تمثلت بإضافة مواد بوليميرية للتربة ، حيث أشار الباحثان إلى أن استخدام هذه المحاليل يقلل من مشاكل انسداد المقطفات بواسطة ذرات التربة الناعمة .

وقد أجرى الباحثان [8] تجارب مختبرية لدراسة أنماط الابتلال وتوزيع الماء لمصدر منقط واقع على سطح التربة عند معدلات إضافة وحجم ماء مختلف في نوعين من الترب تم إعداد مقاطع التربة لها بشكل طبقي بتعقب وسمك مختلف لطبقات التربة ، بالإضافة إلى دراسة مقاطع متجانسة لهذه الترب . وقد أظهرت التجارب أن أنماط الابتلال وتوزيع الرطوبة تتأثر بتعقب طبقات التربة وسمكها ومعدلات إضافة الماء وحجم الماء المضاف . وقد وجد الباحثان انه في مقاطع التربة الطباقيه (سواء كانت طبقة التربة ناعمة النسجة فوق طبقة التربة خشنة النسجة أو العكس) يحصل تحديد في حركة الماء نحو الأسفل وزيادة في حركة الماء الأفقيه . وقد ذكر الباحثان انه يمكن زيادة عمق الابتلال في مقاطع الترب المتجانسة من خلال اختيار مقطفات ذات معدلات إضافة قليلة ولكن هذا لا ينطبق تماماً في حالة الترب الطباقيه .

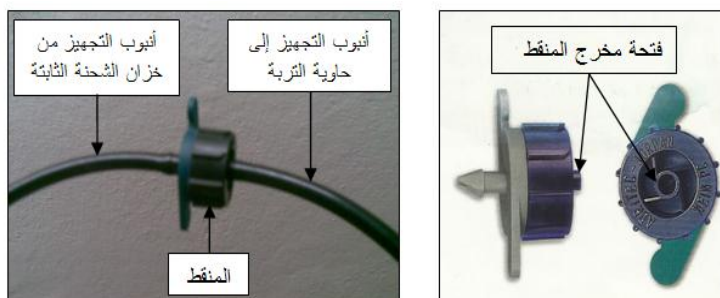
خليل: تأثير الضغط على نمط الابتلال في تربة طباقية النسجة لمصدر تنقيط مدفون تحت سطح التربة

إن الهدف من هذا البحث هو دراسة تأثير الضغط التشغيلي على أنماط ابتلال التربة لمقاطع تربة طباقية النسجة من خلال مصدر منقط مدفون تحت سطح التربة .

طرق ومواد البحث

أجريت التجارب المختبرية للبحث في مختبرات قسم البناء والإنشاءات / الكلية التقنية / الموصل ، خلال شهر نيسان وأيار لسنة 2011 .

صممت التجارب المختبرية لدراسة تأثير الضغط التشغيلي على حركة الماء لمصدر منقط مدفون تحت سطح التربة ، حيث تضمنت الدراسة إجراء ستة تجارب على مقاطع تربة طباقية مختلفة النسجة ، وقد تم اختيار نوعين من الترب بنسبتين مختلفتين تم جلبهما من مواقعين مختلفين من محافظة نينوى (التربة الأولى طينية تم جلبها من منطقة وانة والتربة الثانية مزيجية تم جلبهما من منطقة شيخ محمد) . وقد تم إعداد مقاطع التربة بوضعين مختلفين ، الوضع الأول بإعداد مقطع تربة مكون من طبقتين حيث وضعت التربة المزيجية بالطبقة السفلى وبسمك (50 سم) ووضعت التربة الطينية بالطبقة العليا وبسمك (25 سم) ، أما الوضع الثاني في إعداد مقطع التربة كان بترتيب معاكس حيث وضعت التربة الطينية بالطبقة السفلى وبسمك (50 سم) ووضعت التربة المزيجية بالطبقة العليا وبسمك (25 سم) ، وفي كلا الوضعين تم وضع المصدر المنقط عند الحد الفاصل بين الطبقتين . وقد تمت إضافة الماء باستخدام منقط نوع (Turbulent Flow) إنتاج شركة (Adritec Group International) وبتصريف اسمي 2 لتر/ساعة وعند ثلات ضغوط تشغيلية وكما يلي : (4.99 و 9.99 و 16.14 متر) .



الشكل (1) يوضح المنقط والأنبوبان البلاستيكيان المرتبطان فيه .

كان التصريف (2 لتر/ساعة) . وقد تمت معايرة المنقط (باستخدام ساعة توقيت واسطوانة مدرجة) وإيجاد معادلة منحني خصائص تصريف المنقط (P - Q) عند ضغوط تشغيلية مختلفة وذلك قبل وضعه داخل التربة ، حيث كان معامل الارتباط (0.992) للمعادلة الموضحة أدناه :

$$Q = 2.271 P^{0.541} \quad (1)$$

حيث :

$$\begin{aligned} Q &= \text{معدل إضافة المنقط } (\text{سم}^3/\text{ دقيقة } / \text{ سم }) \\ P &= \text{الضغط التشغيلي } (\text{م }) . \end{aligned}$$

تم الحصول على التوزيع الحجمي لدقائق التربتين بطريقة التحليل المنخلي وطريقة المكثاف (الهيدروميتر) كما جاء في [9] وبالاستعانة بمثلث النسجة تم تحديد التصنيف النسجي لكل تربة . الجدول (1) يبين نسب مكونات التربتين .

الجدول (1) خلاصة بنتائج فحوصات نسجة التربة .

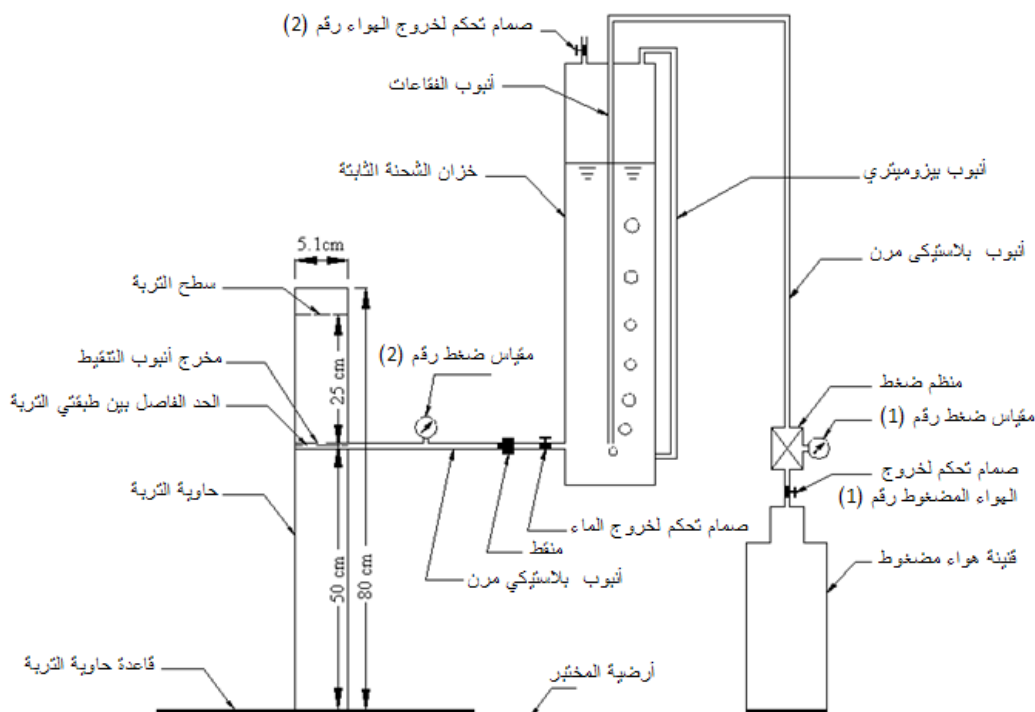
| تصنيف النسجة* | الطين غم/كغم | الغرین غم/كغم | الرمل غم/كغم | أسم المنطقة |
|---------------|--------------|---------------|--------------|----------------|
| طينية ، Clay | 597 | 362.5 | 40.5 | وانة / نينوى |
| Loam مزيجية ، | 247 | 425 | 328 | شيخ محمد/نينوى |

* تم تحديد التصنيف بالاستعانة بمثلث النسجة .

تم تجفيف هاتين التربتين في الهواء (air-dry) ، حيث أصبح المحتوى الرطوبي الابتدائي الوزني (غم ماء / كغم تربة) بعد نخل التربة، للتربة الطينية بحدود (2.65 %) وللتربة المزيجية بحدود (1.76 %) . وقد تم نخل التربتين بغربال (2 ملم × 2 ملم) . أجريت فحوصات الكثافة الظاهرية لكلا التربتين في الحقل باستخدام طريقة الأسطوانة القاطعة فكانت

قيمتها (1.2 و 1.36 ، غ/سم³) للترابة الطينية والترابة المزيجية على التوالي . أجريت التجارب المختبرية باستخدام حاوية الترابة ببعد (90 سم) طولاً و (80 سم) عرضاً ، أحد أوجه الحاوية شفافاً وذلك لضبط عملية رص التربة داخل الحاوية ورصد وتأثير موقع نقدم طليعة الابتلال ، الشكل (2) يبين مخططاً عاماً للجهاز المعتمد في التجربة . وللحصول على إضافة ماء ثابتة مع الزمن عند ضغط تشغيلي ثابت تم استخدام خزان الشحنة الثابتة (Mariotte bottle) متصل بقنية هواء مضغوط ومنظم للضغط للتحكم بالضغط التشغيلي وكما مبين في الشكل (2) . وتخلص عملية إضافة الماء إلى الترابة كما يلي ، يملئ خزان الشحنة الثابتة بالماء مع ترك صمام تحكم خروج الهواء (رقم 2) مفتوحاً لخروج الهواء أثناء عملية ملي الخزان بالماء . يكون هذا الصمام مغلقاً أثناء التشغيل . يتم تسليط ضغط الهواء داخل خزان الشحنة الثابتة بواسطة قنية الهواء المضغوط عن طريق أنبوب بلاستيكي من يرتبط مباشرة بأنبوب الفقاعات (Bubble tube) الذي يخترق القاعدة العليا داخلاً بالخزان بحيث تكون نهايته السفلية على ارتفاع (6 سم) عن قاع الخزان . يدعى هذا الأنابيب عادة بأنبوب الفقاعات لأن الهواء يدخل من خلاله أثناء التشغيل إلى داخل الخزان على شكل فقاعات تتولد عند نهايته والتي يكون عندها الضغط يساوي صفرأً في حالة عدم ربط الخزان بقنية الهواء

المضغوط . ويتم التحكم بمقادير الضغط المسلط باستخدام منظم للضغط يربط بقنية الهواء المضغوط بشكل مباشر ، ويتضمن منظم الضغط تماماً للتحكم بمقادير الضغط المسلط وقياساً لقراءة ذلك الضغط (مقياس ضغط رقم 1) . يفتح صمام تحكم خروج الهواء المضغوط (رقم 1) ثم يفتح صمام منظم الضغط بمقادير الضغط المطلوب ويحدد بمقاييس الضغط (رقم 1) . ثم يربط صمام خروج الماء بالمنقط بوساطة أنبوب بلاستيكي قصير ومن، يفتح صمام خروج الماء وتبدأ عملية التنقيط لفترة قصيرة خارج حاوية الترابة لغاية الوصول إلى إضافة مستقرة للمنقط وثبات قراءة مقياس الضغط (رقم 1) . بعد ذلك يربط الطرف الثاني من المنقط (فتحة مخرج المنقط) بأنبوب بلاستيكي من ينقرع إلى طرفين ، الطرف الأول يرتبط بمقاييس الضغط (رقم 2) والطرف الثاني يمتد إلى داخل حاوية التربة عند الحد الفاصل بين طبقتي الترابة من خلال فتحة في ظهر الحاوية ، ويكون جزء الأنابيب البلاستيكي الواقع داخل الحاوية غير من ويسمي بـأنبوب التنقيط . ومن الجدير بالذكر ملاحظة وقوع أنبوب التنقيط (أو المنقط) والطرف السفلي لأنبوب الفقاعات ومقياس الضغط (رقم 2) على منسوب واحد وذلك لغرض اخذ قراءة الضغط العكسي (بمقاييس ضغط رقم (2)) بشكل مباشر دون تأثير فرق المنساب على القياس ، ويمكن ملاحظة ذلك في الشكل (2) .



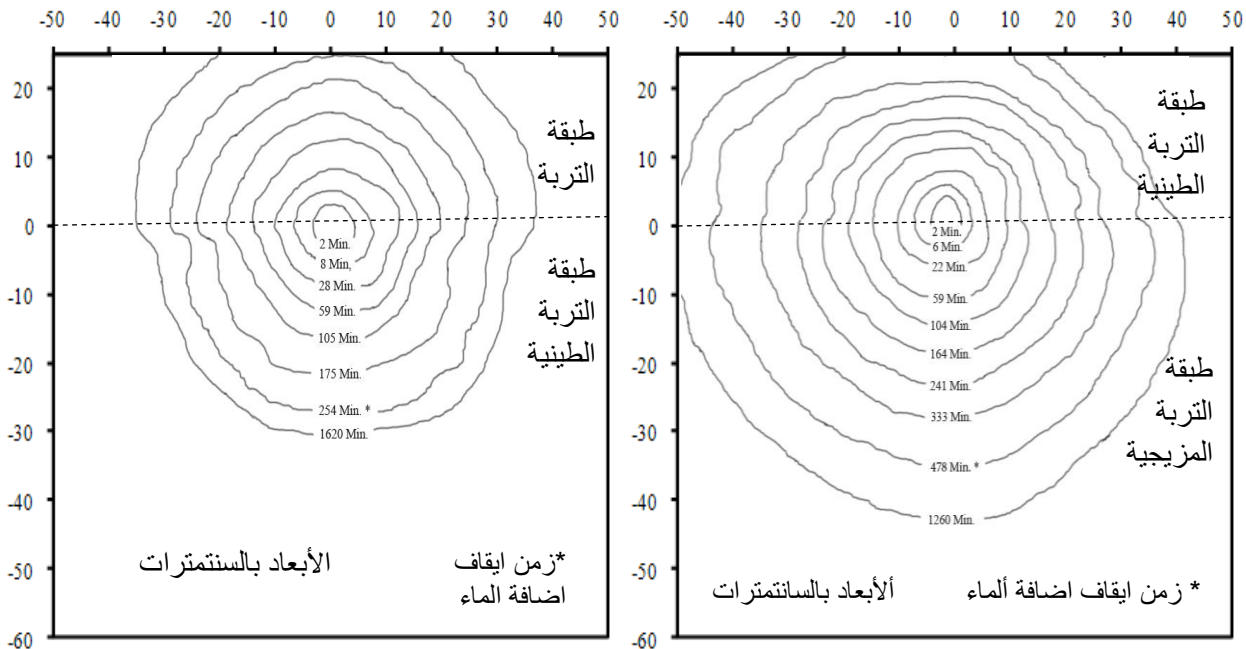
الشكل (2) مخطط عام للأجزاء الرئيسية للجهاز المعتمد .

إن حساب التصريف الفعلي للمنقط تم من خلال معرفة حجم الماء المستهلك من خزان الشحنة الثابتة خلال فترة إضافة الماء في التجربة ، حيث يحسب حجم الماء المضاف من خلال قراءة عمود الماء المستهلك من خزان الشحنة الثابتة

بوساطة مانوميتر مثبت عليه ثم يضرب هذا الارتفاع بمساحة مقطع خزان الشحنة الثابتة . تم رص التربة في الحاوية على شكل طبقات ، سمك كل طبقة (10 سم) ، وذلك للحصول على مقطع متوازي من التربة وبكتافة متساوية للكثافة الحقلية . وعند إكمال إعداد الطبقة السفلية للترابة الأولى يتم وضع أنبوب التنقيط ثم يستكمل إعداد الطبقة العليا للترابة الأخرى . وبعد ذلك تتم معايير التصريف عند الضغط التشغيلي المحدد لتلك التجربة . بعد ذلك تبدأ عملية إضافة الماء وتؤخذ قراءات ضغط ماء التربة (الضغط العكسي) عند مخرج المقطع مع الزمن بواسطة مقياس الضغط (رقم 2) وفي نفس الوقت تؤشر مواقع جبهات الابتلال على وجه الحاوية الزجاجي مباشرة وعند فواصل زمنية مختلفة . بعد إيقاف إضافة الماء مباشرة يتم تغطية سطح التربة بقطاء من البلاستيك (الناليون) وذلك لمنع التبخّر من سطح التربة ، وترك التجربة لفترة يوم واحد تقريباً وذلك لإعادة توزيع الرطوبة في مقطع التربة ، حيث لوحظ ببطء تقدم جبهة الابتلال وصعوبة ملاحظتها بعد هذه الفترة ، وتسجل خلال هذه الفترة مواقع جبهات الابتلال .

النتائج والمناقشة أنماط الابتلال

الشكل (3) يمثل نتائج إحدى التجارب لمقاطع التربة عندما تكون التربة الطينية الطبقة العليا وبسمك (25 سم) ووضع التربة المزيجية كطبقة سفلية وبسمك (50 سم) ، حيث تظهر موقع جبهات الابتلال عند معدل إضافة فعلي للماء (7.11 سم³ / دقيقة / سم) لضغط تشغيلي مقداره (9.99 متر) ، وعند وضع أنبوب التنقيط عند الحد الفاصل بين الطبقتين . يمثل الشكل (4) إحدى التجارب لمقاطع التربة عند وضع التربة المزيجية كطبقة عليا وبسمك 25 سم ووضع التربة الطينية بالطبقة السفلية وبسمك (50 سم) ، حيث تظهر موقع جبهات الابتلال عند معدل إضافة فعلي للماء (6.66 سم³ / دقيقة / سم) لضغط تشغيلي مقداره (9.99 متر) . من الشكلين (3) و(4) نلاحظ أن التقدم الأفقي لجبهة الابتلال في التربة المزيجية يكون أكبر منه في التربة الطينية بغض النظر فيما لو كانت التربة المزيجية طبقة عليا أو سفلية ، وذلك لكون الآيسالية الهيدروليكيّة للأرض المزيجية أكبر من الآيسالية الهيدروليكيّة للتربة الطينية . وقد لوحظ أن التقدم العمودي السفلي والعلوّي في التربة المزيجية يكون أكبر من نظيرها في التربة الطينية ، وهذا موافق لما ذكر في [2] ، حيث ذكرت أن أكبر نمط ممثل يوجد في مدى التربة متوسطة النسجة ، وأن أصغر حجم ممثل يوجد في الترب الخشنة والناعمة النسجة .

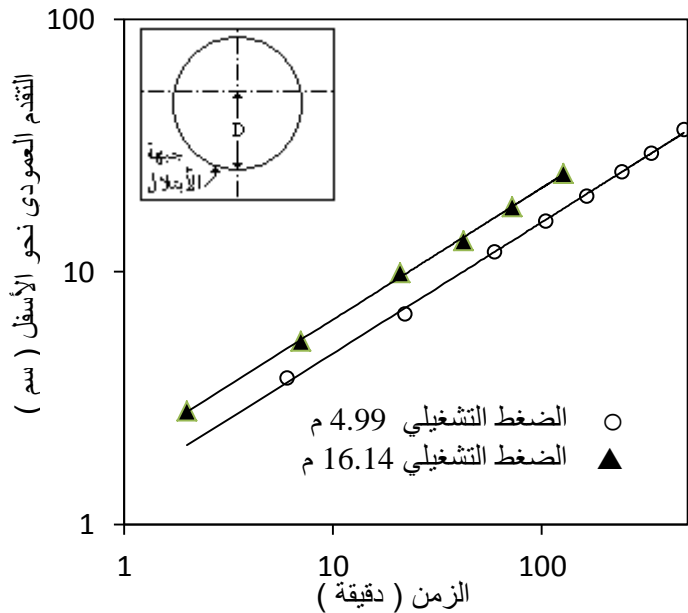


الشكل (4) موقع جبهات الابتلال في مقطع التربة الطباقية (وضع التربة المزيجية بالطبقة العليا ووضع التربة الطينية بالطبقة السفلية) ، وعند وضع أنبوب التنقيط عند الحد الفاصل بين الطبقتين (عند معدل إضافة فعلي للماء (6.66 سم³ / دقيقة / سم) ولضغط تشغيلي مقداره 9.99 متر) .

الشكل (3) موقع جبهات الابتلال في مقطع التربة الطباقية (وضع التربة الطينية بالطبقة العليا ووضع التربة المزيجية بالطبقة السفلية) ، وعند وضع أنبوب التنقيط عند الحد الفاصل بين الطبقتين (عند معدل إضافة فعلي للماء

ومن المعروف أن أحجام المسامات في التربة الطينية تكون أصغر منها في التربة المزججية وهذا يؤدي إلى صعود الماء بالخاصية الشعرية في التربة الطينية بصورة أكبر من الترب المزججية ، إلا أنه عند مقارنة الشكلين (3 و 4) نلاحظ العكس والسبب في هذا أنه في مقاطع التربة الطابقية يحصل تحديد في حركة الماء نحو الأسفل وزيادة في حركة الماء الأفقيه والعلوية وإن هذا التحديد يكون أكبر في التربة الطينية (عندما تكون في الطبقة السفلية) بسبب انفصال جزيئات الطين مما يؤدي إلى تقاضي في أحجام المسامات لهذه التربة وهذا يجعل الماء يتوجه نحو الأعلى في طبقة التربة المزججية بصورة سريعة ، وهذا موافق لما ذكره الباحث [8] ، بالإضافة إلى كون الإ يصلية الهيدروليكيه في التربة المزججية أعلى من الإ يصلية الهيدروليكيه في التربة الطينية .

إن دراسة حركة الماء ثنائية البعد ، لمصدر منقط مدفون ، يمكن وصفها هندسياً بمحورين أفقي وعمودي ، حيث إن نقطة تقاطع المحورين (أي نقطة الأصل (0,0)) تقع عند المصدر المنقط .



شكل (5) العلاقة بين التقدم العمودي للماء نحو الأسفل والזמן في مقاطعي التربة الطابقية (الطبقة العليا طينية والطبقة السفلية مزججية) ، عند تصريف اسمي مقداره 2 لتر/ساعة (أو 6.54 سم³/دقيقة/سم) وضغطين تشغيليين مختلفين .

يوضح الشكل (5) العلاقة بين التقدم العمودي نحو الأسفل مع الزمن ، في مقطع الطبقة الطابقية (الطبقة العليا طينية والطبقة السفلية مزججية) عند الضغطين التشغيليين العالي والواطي (4.99 و 16.14 متر) . وقد رسمت هذه العلاقة باستخدام مقاييس لوغاريتمي (log-log Scale) حيث غالباً ما تكون هذه العلاقة خطية باستخدام هذا المقاييس . نلاحظ في هذا الشكل انه عند زيادة قيمة الضغط التشغيلي تزداد قيمة التقدم جهة الاتصال نحو الأسفل وذلك بسبب ازدياد قيمة الضغط الموجب للماء التربة المتولد بالقرب من المصدر المنقط (زيادة في مساحة جهة التشعّب) وهذا يولد انحداراً هيدروليكيًا كبيرًا يعمل كقوى محركة للماء للانتقال من منطقة الجهد العالي إلى منطقة الجهد الواطي في مقطع التربة . يظهر من هذا الشكل أن الخطان المستقيمان لمعادلة التقدم يكونان متوازيان تقربياً وان قيمة الميل الحسابي لهما متقابلان .

وعليه فإن علاقة التقدم العمودي للماء نحو الأسفل مع الزمن في مقاطع التربة الطابقية خلال الري يمكن تقريبها بالعلاقة الآسيّة التالية :

$$D = a_1 t^{b_1} \quad (2)$$

حيث :

D = التقدم العمودي (التراكمي) للماء نحو الأسفل (سم) .

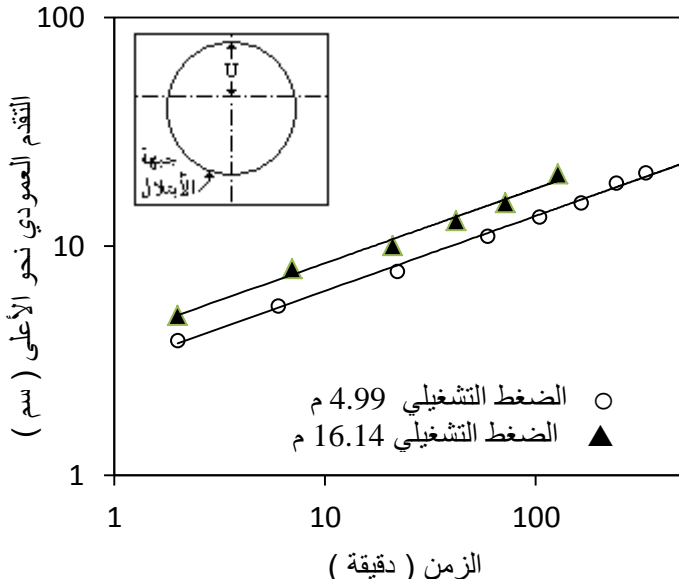
t = زمن الإضافة التراكمي للماء ، محسوباً منذ بداية إضافة الماء (دقيقة) .

a_1 = ثابت وضعی يمثل تقاطع الخط المستقيم لمعادلة التقدم مع المحور العمودي عند الزمن دقيقة واحدة .

b_1 = ثابت وضعی يمثل الميل الحسابي للخط المستقيم في معادلة التقدم .

وهذا موافق لما توصل إليه الباحثان [10] والباحث [11] من خلال العديد من التجارب المختبرية ، في تمثيل علاقة جهة الاتصال الأفقيه والعمودية لمصدر منقط بعلاقة آسيّة بسيطة . ومن ملاحظة الشكل (5) نجد أن قيمة المعامل a تزداد بزيادة الضغط التشغيلي بينما لا تتأثر قيمة المعامل b بزيادة الضغط التشغيلي . حيث بزيادة الضغط التشغيلي يزداد معدل إضافة الماء مما يزيد تشعّب التربة حول المصدر المنقط وهذا يؤدي إلى زيادة قيمة الانحدار الهيدروليكي بكافة الاتجاهات ضمنها الاتجاه نحو الأسفل فتزداد الحركة بهذا الاتجاه وعندها تزداد قيمة المعامل a ، بينما لم تتأثر قيمة المعامل b بزيادة الضغط التشغيلي وذلك لتأثيرها بخواص وظروف التربة الابتدائية الثابتة في هذه التجارب ، وهذا موافق لما ذكره الباحث [11] بأن المعامل a يعتمد على معدل إضافة الماء بينما المعامل b لا يعتمد عليه وموافق لما ذكره الباحث [12] من أن العاملين a و b في المعادلة (2) يعتمدان على نوع التربة والمحتوى الرطبوبي الابتدائي لها . وعند ملاحظة المعادلة (2)

نجد لها مطابقة لمعادلة كوستاكوف لوصف ارتياح الماء في التربة وذلك لاعتمادها على نفس العوامل المؤثرة كما جاء في [11] و [12].



شكل (6) العلاقة بين التقدم العمودي للماء نحو الأعلى والزمن في مقطعي التربة الطباقية (الطبقة العليا طينية والطبقة السفلی مزيجية) ، عند تصريف اسمي مقداره 2 لتر/ساعة (أو 6.54 سم³/دقيقة/سم) وضغطتين تشغيليين مختلفين .

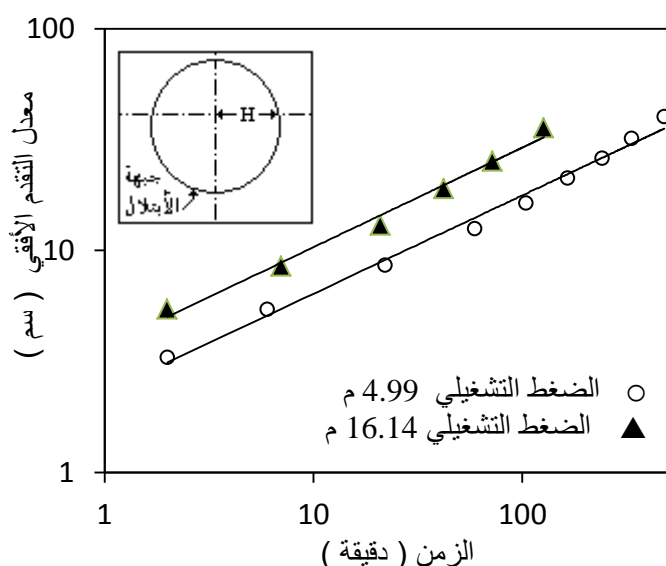
يوضح الشكل (6) العلاقة بين التقدم العمودي نحو الأعلى والزمن ، في مقطع التربة الطباقية (الطبقة العليا طينية والطبقة السفلی مزيجية) عند الضغطتين التشغيليين العالى والواطئ (4.99 و 16.14 ، متر) يوضح الشكل (7) العلاقة بين معدل التقدم الأفقي والزمن ، في مقطع التربة الطباقية (الطبقة العليا طينية والطبقة السفلی مزيجية) عند الضغطتين التشغيليين العالى والواطئ (4.99 و 16.14 متر) . في الشكلين (6) و (7) نلاحظ أيضا انه عند زيادة قيمة الضغط التشغيلي تزداد قيمة تقدم جهة الابتلال بالاتجاه نحو الأعلى وبالاتجاه الأفقي ، وتفسير ذلك مشابه لما ذكر حول الشكل (5) . كما وجد أن تقدم الماء بالاتجاهات الأخرى مشابه لما ورد في التقدم بالاتجاه السفلي وعند الترتيبات المختلفة لطبقات التربة ، ويمكن التعبير عنها بنفس الصيغة الواردة في المعادلة (2) وكما يلي :

$$H = a_2 t^{b2} \quad (3)$$

$$U = a_3 t^{b3} \quad (4)$$

حيث :

H و U = معدل التقدم الأفقي والتقدم العلوي للماء على التوالي (سم) على التوالي .
 a_2 و b_2 و a_3 و b_3 = ثوابت وضعية كما جاءت في المعادلة (1) .



شكل (7) العلاقة بين معدل التقدم الأفقي للماء والزمن في مقطعي التربة الطباقية (الطبقة العليا طينية والطبقة السفلی مزيجية) ، عند تصريف اسمي مقداره 2 لتر/ساعة (أو 6.54 سم³/دقيقة/سم) وضغطتين تشغيليين مختلفين .

يبين الجدول (2) قيم الثوابت a_i و b_i بالإضافة إلى قيم معامل التحديد (R^2) لمعادلات التقدم بكافة الاتجاهات وعند الترتيبات المختلفة لمقاطع التربة وعند ثلات ضغوط تشغيلية (4.99 و 9.99 و 16.14 متر) ، وتصريف اسمي للمنقط قيمته (2 لتر/ساعة أو 6.54 سم³/دقيقة / سم) .

يلاحظ من الجدول (2) أنه عند مقارنة قيم b ما بين نسجتي التربتين الطينية والمزيجية ، نجد أن قيم b تكون أكبر في التربة المزيجية في كل حالات التقدم العمودي والعلوي وبغض النظر كونها طبقة علية او سفلی ولكلفة الضغوط التشغيلية ، والسبب في هذا يعود الى أن الاصالية الهيدروليکية في التربة المزيجية تكون أعلى منها في التربة الطينية . بينما تكون قيم b متقاربة في حالة التقدم الأفقي عند كل تعاقب طبقي التربتين ولكلفة الضغوط التشغيلية . أما عند مقارنة قيم a ما بين نسجتي التربتين الطينية والمزيجية ، نجد أن قيم a

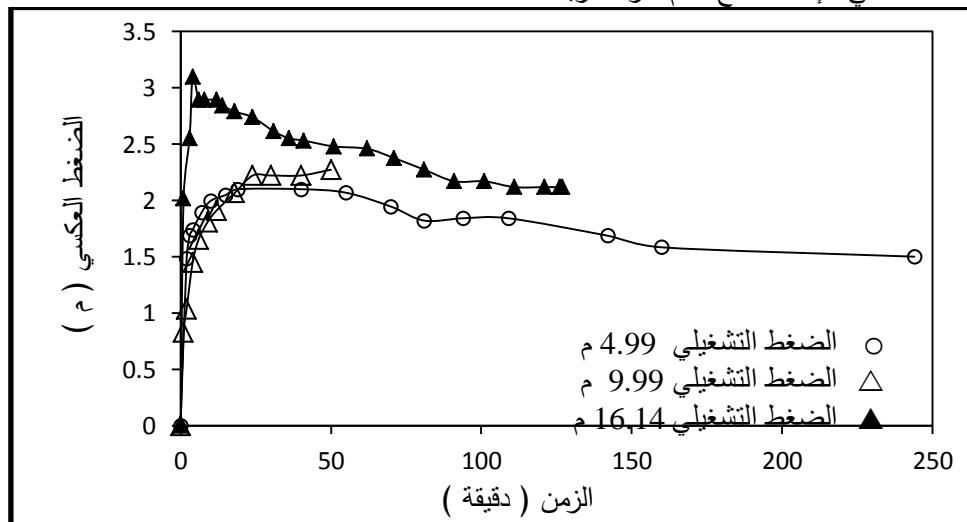
تكون أكبر في التربة الطينية في كلا حالتي التقدم العمودي السفلي والعلوي وبغض النظر كونها طبقة عليا او سفلية ولكلها الضغوط التشغيلية ، وذلك لكون الجهد الميكانيكي (Matric potential) للترابة الطينية يكون أعلى منه في التربة المزيجية . بينما تكون قيم a متقاربة في حالة التقدم الأفقي عند كلا تعاقب طبقتي التربتين ولكلها الضغوط التشغيلية .

جدول (2) قيم الثوابت الوضعية (a و b) ومعامل التحديد (R^2) لمقاطع التربة الطابقية عند ضغوط تشغيلية مختلفة .

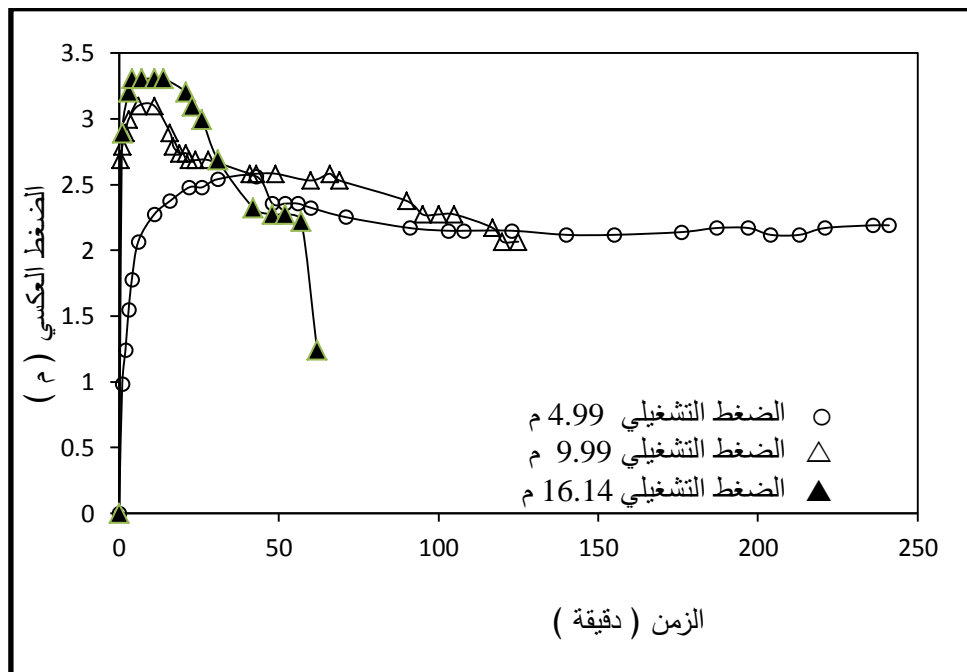
| الضغط التشغيلي ، م | | | | | | | | | اتجاه تقدم جبهه الابتالل | تعاقب طبقات التربة | | |
|--------------------|-------|-------|--------|-------|-------|--------|-------|-------|--------------------------------|--------------------------|--|--|
| 16.14 م | | | 9.99 م | | | 4.99 م | | | | | | |
| R^2 | b | a | R^2 | b | a | R^2 | b | a | | | | |
| 0.996 | 0.521 | 1.948 | 0.999 | 0.542 | 1.715 | 0.998 | 0.520 | 1.434 | طينية عليا مزيجية سفلى | السفلي | | |
| 0.987 | 0.449 | 3.680 | 0.996 | 0.421 | 3.053 | 0.990 | 0.442 | 2.307 | | الأفقي | | |
| 0.987 | 0.325 | 3.995 | 0.993 | 0.346 | 3.725 | 0.995 | 0.327 | 3.005 | | العلوي | | |
| 0.998 | 0.353 | 3.144 | 0.996 | 0.400 | 2.938 | 0.986 | 0.400 | 2.659 | | السفلي | | |
| 0.999 | 0.437 | 3.185 | 0.995 | 0.411 | 3.179 | 0.992 | 0.438 | 2.573 | | الأفقي | | |
| 0.986 | 0.411 | 4.253 | 0.993 | 0.415 | 3.211 | 0.998 | 0.455 | 1.970 | | العلوي | | |

الضغط العكسي

بوضوح الشكل (8) العلاقة بين ضغط ماء التربة العكسي والزمن ، في مقاطع التربة الطابقية (الطبقة العليا طينية والطبقة السفلى مزيجية) عند ثلاث ضغوط تشغيلية هي (4.99 و 9.99 و 16.14 متر) ، وقد تم قياس الضغط العكسي عند مخرج المنقط بوساطة مقياس الضغط (رقم 2) . يلاحظ في هذا الشكل أن الضغط العكسي يزداد عند زيادة الضغط التشغيلي لنفس زمن الإضافة وذلك لأنه عند زيادة الضغط التشغيلي يزداد معدل الإضافة الفعلية للماء بكمية تفوق سعة التربة لإرتشاح الماء مما يولد منطقة مشبعة لمقاطع التربة بالقرب من المصدر المنقط ينبع عن هذا التشبع ضغطاً موجباً ينمو مع استمرار عملية الإضافة ، إن هذا الضغط الموجب ينمو بشكل سريع مع عملية الإضافة ليصل إلى قيمة مستقرة نسبياً بعد مرور (10-30 دقيقة) من زمن الإضافة ، وهذا موافق لما ذكره الباحثون [3] . يوضح الشكل (9) العلاقة بين ضغط ماء التربة العكسي المقاس عند مخرج المنقط والزمن في مقاطع التربة الطابقية (الطبقة العليا مزيجية والطبقة السفلى طينية) عند ثلاث ضغوط تشغيلية هي (4.99 و 9.99 و 16.14 متر) . في هذا الشكل نلاحظ أيضاً أن الضغط العكسي يزداد عند زيادة الضغط التشغيلي لنفس زمن الإضافة ثم يصل إلى قيمة مستقرة نسبياً ، ولكن عند الضغط التشغيلي (16.14 متر) نلاحظ حدوث انحدار مفاجئ لقيمة الضغط العكسي والسبب يعود إلى أن الضغط التشغيلي العالي أدى إلى تكون ضغط موجب عالي وبالتالي تربة مشبعة للمنطقة القريبة من المنقط وهذا أدى إلى تقلص في أحجام المسامات للتربة الطينية بسبب انتفاخ جزيئات الطين مما حدد التقدم بالاتجاه السفلي بصورة ملحوظة ، وهذا جعل الماء يتوجه نحو الأعلى في مقطع طبقة التربة المزيجية بمعدل إضافة عالي متزايد يفوق سعة ارتشاح التربة المزيجية ، إن الاستمرار بإضافة الماء بهذا المعدل العالي للإضافة مع عدم قدرة التربة



شكل (8) العلاقة بين الضغط العكسي والزمن في مقاطع التربة الطابقية عند وضع التربة الطينية كطبقة عليا والتربة المزيجية كطبقة سفلية ، عند تصريف اسمي قدره : 2 لتر / ساعة و عند ضغوط تشغيلية مختلفة .



شكل (9) العلاقة بين الضغط العكسي الزمن في مقاطع التربة الطباقية عند وضع التربة المزيجية كطبقة عليا والتربة الطينية كطبقة سفلی ، عند تصريف اسمي قدره : 2 لتر/ساعة و عند ضغوط تشغيلية مختلفة .

المزيجية على استيعاب هذه الكمية من الماء ونشرها خلال مقطع التربة أدى إلى تشكيل فجوة مائية قرب المصدر المنقط ومسار مائي يشكل قناة نحو السطح (Chimney effect) ، إن تشكيل القناة ووصولها إلى سطح التربة جعلت الماء يسلكها وصولاً إلى السطح (الماء يسلك الطريق الأقل إعاقة لحركته) مما جعل المنطقة المشبعة المتكونة ذات الضغط الموجب العالي باتصال مباشر مع الضغط الجوي مما أدى إلى ذلك الانحدار المفاجئ بالضغط العكسي . إن الوصف أعلاه مطابق لما تمت الإشارة إليه في [2] تحت تسمية تأثير المدخنة (Chimney effect) أو (Surfacing) . وقد تم إيقاف إضافة الماء عند بدء خروج الماء إلى سطح التربة بما يعرف بتأثير المدخنة لمنع التأثير على النتائج . من مقارنة الشكلين (8 و 9) نجد أن تشكيل المسار المائي المتجه نحو السطح بما يسمى بتأثير المدخنة عند الضغط التشغيلي (16.14 متر) حدث عند وضع التربة الطينية بالطبقة السفلی والتربة المزيجية بالطبقة العليا ولم يحدث ذلك في حال التعاقب المعاكس لطبقتي التربة وذلك لكون الآيصالية الهيدروليکية للترابة المزيجية أعلى منها في التربة الطينية ، فعندما تكون التربة المزيجية بالطبقة السفلی تتمكن من تمرير كمية كبيرة من الماء خلالها ، بينما عند وضع التربة الطينية كطبقة سفلی يتحدد تقدم الماء فيها بسبب انخفاض قيمة الآيصالية الهيدروليکية فيها بالإضافة إلى تقلص أحجام مسام التربة فيها نتيجة انتفاخ جزيئات الطين في الظروف المشبعة . وهذا جعل الماء يتوجه نحو الأعلى في مقطع طبقة التربة المزيجية بمعدل إضافة عالي متزايد يفوق سعة ارتياح التربة المزيجية مما أدى إلى تشكيل قناة إلى سطح التربة . إن حدوث ما يسمى بتأثير المدخنة يؤثر بشكل كبير على كفاءة إضافة الماء في نظام الري بالتنقيط تحت سطح التربة حيث تقل قدرته على إيصال الماء والمواد المغذية إلى منطقة الجذور بالإضافة إلى ضائعات التبخر من سطح التربة نتيجة هذه الظاهرة . ولعرض تحقيق التصميم الأمثل لمنظومة الري بالتنقيط تحت سطح التربة يجب اختيار مناطق بمعدلات إضافة لا تفوق قابلية التربة لإرتياح الماء .

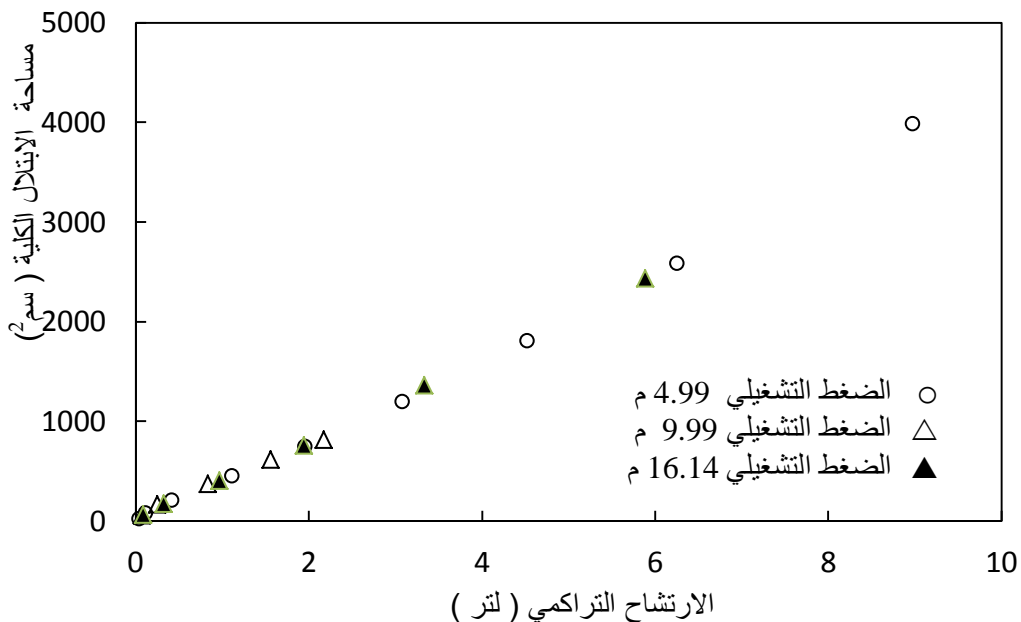
يوضح الجدول (3) قيم التصريف الفعلي للمنقط وقيم تصريف المنقط المستحصلة من معادلة خصائص منحنى تصريف المنقط مع الضغط ، عند النتائج المختلفة لطبقتي التربة لمقاطع التربة و عند ثلاث ضغوط تشغيلية وتصريف اسمي للمنقط (2 لتر/ساعة أو 6.54 سم³/دقيقة/سم) . من الجدول (3) نلاحظ

جدول (3) قيم تصارييف المنقط الفعلية (في التربة) وتصارييف المنقط من معادلة منحني خصائص المنقط (خارج التربة) .

| تصريف المنقط الفعلى / تصريف المنقط من المعادلة | تصرف المنقط الفعلى سم/3 دقيقة/ سم | تصريف المنقط من المعادلة سم/3 دقيقة/ سم | الضغط التشغيلي ، م | تعاقب طبقات التربة |
|--|-----------------------------------|---|--------------------|------------------------|
| 0.72 | 3.68 | 5.12 | 4.49 | طينية عليا مزيجية سفلی |
| 0.73 | 3.71 | 5.12 | 4.49 | طينية سفلی مزيجية عليا |
| 0.90 | 7.11 | 7.89 | 9.99 | طينية عليا مزيجية سفلی |
| 0.84 | 6.66 | 7.89 | 9.99 | طينية سفلی مزيجية عليا |
| 0.89 | 9.09 | 10.23 | 16.14 | طينية عليا مزيجية سفلی |
| 0.88 | 9.05 | 10.23 | 16.14 | طينية سفلی مزيجية عليا |

أن قيمة تصريف المنقط الفعلية أقل من قيمة تصريف المنقط المستحصلة من معادلة خصائص تصريف المنقط مع الضغط (معاليرة التصريف تحت الضغط الجوي) حيث تراوح انخفاض تصارييف المنقطات بحدود (10-28%) وذلك بسبب تأثير الضغط العكسي ، وهذا مافق لما ذكره الباحثون [3] وموافق ايضاً لما ذكره الباحثون [3] في دراسة حلية لهم وجدوا فيها ان تصارييف المنقطات التصميمية انخفضت بحدود (10-15%) ، حيث وجد ان تصارييف المنقطات ازدادت مباشرة بعد إزالة التربة حول أنابيب التتفقيط بعناية علماً أنه لم يتعرض أي من هذه المنقطات لانسدادات بسبب دقائق التربة او الجذور ، وقد فسر الباحثون ذلك بأن معدل التصريف التصميمي للمنقطات كان أكبر من قابلية التربة لارتشاح الماء مما ولد ضغطاً موجياً عند مخرج المنقط ، إن نشوء هذا الضغط الموجب (الضغط العكسي) في التربة يؤدي إلى انخفاض انحدار الضغط خلال المنقط وبالتالي ينخفض تصريف المنقط بأسلوب يعتمد على خصائص منحني المنقط (P - Q) . إن انخفاض تصارييف المنقط بحدود (10-28%) كما جاء في هذه الدراسة يحدث بسبب تأثير الضغط العكسي مما يؤدي إلى انخفاض في كفاءة إضافة الماء حيث يحصل عجز بالإرواء وذلك عند تصميم منظومة الري بالتفقيط تحت سطح التربة بالاعتماد فقط على الخصائص الهيدروليكيه للمنظومة دون الأخذ بالاعتبار تأثير الضغط العكسي . ولتحقيق معدلات إضافة الماء المطلوبة التي تلبى الاحتياجات المائية للنباتات يتطلب ذلك زيادة في الضغط التشغيلي لتعويض ضائعات شحنة الضغط نتيجة الضغط العكسي وهذا يمثل ضائعات بالطاقة التشغيلية . إن مدى انخفاض تصارييف المنقط يعتمد على نوع التربة وتصريف المنقط ومنحني خصائص المنقط (نوع المنقط) . ولغرض تجاوز مشكلة الضغط العكسي بالري بالتفقيط تحت سطح التربة يجب اختيار منقطات بمعدلات إضافة لا تفوق قابلية التربة لارتشاح الماء ، وكما يمكن تجاوز مشكلة الضغط العكسي باستخدام منقطات نوع معادلة الضغط (Compensated pressure drippers) [3] ، التي تمتاز بامتلاكها منحني خصائص منقط قليل الحساسية لتأثير الضغط على تصريف المنقط .

وقد تم افتراض أن قيمة التصريف الفعلى ثابتة مع الزمن ، حيث من ملاحظة الشكلين (8 و 9) نلاحظ أن الضغط العكسي يكون متغير بشكل كبير وسريع مع عملية الإضافة ليصل إلى قيمة مستقرة نسبياً بعد مرور (10-30 دقيقة) من زمان الإضافة ، وبهذا يصل انحدار الضغط داخل المنقط إلى قيمة ثابتة نسبياً بعد مرور هذه الفترة وعليه يمكن اعتبار تصريف المنقط ثابتاً نسبياً . وعند مقارنة الزمن (10-30 دقيقة) مع بقية زمن الإضافة الذي يكون عنده التصريف ثابتاً نجد انه بالإمكان اعتبار التصريف الفعلى ثابت و خاصة عندما تتجاوز مدة إضافة الماء عشرة ساعات وهذا معناه في الري بالتفقيط . يوضح الشكل (10) العلاقة بين قيم مساحات جبهة الابتلال التراكمية الكلية للطبقتين (عند وضع التربة الطينية كطبقة عليا والتربة المزيجية كطبقة سفلی) مع كمية الارتشاح التراكمية خلال زمن إضافة الماء وعند ثلاثة ضغوط تشغيلية . في هذا الشكل نلاحظ أن المساحة الكلية للابتلال لم تتأثر بقيمة الضغط التشغيلي وذلك لنفس كمية الارتشاح التراكمية . ويمكن تفسير ذلك ، تكون أن معدلات إضافة الماء عند جميع هذه الضغوط التشغيلية كانت قادرة على ملي مسامات التربة لمسافة بعيدة عن المصدر المنقط خلال جبهة الابتلال ، إلى درجة تقترب فيها مساحة جبهة التشبع من مساحة جبهة الابتلال . وبهذا لم يعد لزيادة الضغط التشغيلي تأثير على مساحة الابتلال الكلية لكون جميع تلك الضغوط توفر معدلات إضافة عالية وانحدار هيدروليكي عالي . عند هذا ظروف لا يظهر أيضاً تأثير للجهد الهيكلي للتربة في توسيع مساحة الابتلال بصورة ملحوظة حيث يصبح امتداد مساحة الابتلال تحت هذه الظروف محكماً بمعدلات الإضافة العالية كما ورد في أعلاه .



شكل (10) العلاقة بين مساحة الابتلال الكلية والارتفاع التراكمي خلال زمن إضافة الماء في مقاطع التربة الطباقية عند وضع التربة الطينية كطبقة عليا والتربة المزيجية كطبقة سفلی ، وعند ضغوط تشغيلية مختلفة .

الاستنتاجات

أظهرت الدراسة أن معدل تقدم الابتلال من مصدر منقط تحت سطح التربة عند أي زمن يمكن تقريره بعلاقة أسيّة بسيطة ($a t^b$) حيث t هو زمن الإضافة التراكمي ، a و b معاملات وضعية ، حيث لوحظ أن الثابت b لا يتأثر بزيادة الضغط التشغيلي بينما تزداد قيمة الثابت a مع تلك الزيادة . وأوضحت الدراسة بأن هناك ضغط موجب يتولد في التربة نتيجة إضافة الماء بمعدل عالي يفوق سعة التربة لإرتشاح الماء وإن هذا الضغط (الضغط العكسي) يت ami بشكل سريع مع عملية الإضافة ليصل إلى قيمة مستقرة نسبياً بعد مرور (10 - 30 دقيقة) من زمن الإضافة . وقد رصد خروج الماء إلى سطح التربة بما يُعرف بتأثير المدخنة عند الضغط التشغيلي العالى (16.14 متر) وعند وضع التربة الطينية كطبقة سفلی والتربة المزيجية كطبقة عليا ، وفسر ذلك بسبب زيادة الماء عند ذلك الضغط التشغيلي بصورة تفوق قابلية التربة على نشره خلال مقطع التربة . إن حدوث ما يُسمى بتأثير المدخنة يؤثر بشكل كبير على كفاءة إضافة الماء في نظام الري بالتنقيط تحت سطح التربة . وللتلافي حدوث ذلك يجب اختيار مناطق ذات معدلات إضافة تتوافق مع الخواص الهيدروليكيّة للترفة . وقد وجد أن قيم تصارييف المنقط الفعلية كانت أقل من قيم تصارييف المنقط المستحصلة من معادلة خصائص منحنى تصريف المنقط مع الضغط (معايير التصريف خارج التربة) حيث تراوح انخفاض تصارييف المناطق بحدود (10- 28 %) وذلك بسبب تأثير الضغط العكسي . ولغرض تجاوز مشكلة الضغط العكسي التي تؤثر على كفاءة إضافة الماء بالري بالتنقيط تحت سطح التربة يجب اختيار مناطق بمعدلات إضافة تتوافق مع الخواص الهيدروليكيّة للترفة . كما أظهرت الدراسة أن المساحة الكلية للابتلال لم تتأثر بشكل ملحوظ بقيمة الضغط التشغيلي لنفس كمية الارتفاع التراكمي .

ولغرض استكمال جوانب أخرى للبحث تعزز مدى الاستفادة من هكذا بحوث في الجانب العملي نوصي بدراسة تأثير المحتوى الرطوي الابتدائي للتربة (أي إعداد مقاطع تربة متجانسة عند محتويات رطوبة ابتدائية مختلفة للتربة الواحدة) على أنماط الابتلال عند ضغوط تشغيلية مختلفة من مصدر منقط تحت السطح ، وذلك لأهميتها في الناحية العملية حيث تكون الترب في بداية الري بمحتوى رطوي ابتدائي أعلى من المفترض في هذه التجربة . كما نوصي بدراسة تأثير الإضافة المنقطعة للماء من مصدر منقط تحت السطح على أنماط الابتلال للتربة عند ضغوط تشغيلية مختلفة ومعرفة مدى ذلك في تقليل مشاكل الضغط العكسي وتأثير المدخنة .

المصادر

1. Camp, C.R. (1998) . “ Subsurface Drip Irrigation : A Review” Transactions of the American Society of Agricultural Engineers, Vol. 41 , No.5 , pp. 1353-1367 .
2. Washington State Department of Health (2007) . “Recommended Standards and Guidance for Performance , Application , Design and Operation and Maintenance Subsurface Drip Systems” Personal communication , http://www.doh.wa.gov/ehp/ts/ww/Drip_8-29-07.pdf
3. Shani, U., S . Xue , R . Gordin – Katz , and A . W . Warrick (1996) . “ Soil – Limiting Flow from Subsurface Emitter . I : Pressure Measurements” Journal of Irrigation and Drainage Engineering , Vol.122 , No.5 , pp. 291-295 .
4. Ben-Gal, A., N . Lazorovitch , and U . shani (2004). “ Subsurface drip irrigation in gravel-filled cavities” Vadose zone journal vol.3 , November , pp 1407-1413 .
5. Siyal, A.A., and T.H. Skaggs (2009) . “ Measured and simulated soil wetting patterns under porous clay pipe sub-surface irrigation” Agricultural water management , 96 , pp 893-904 .
6. Yao, W . W., F. Y. Ma , J. Li , and M. Parkes (2011). “Simulation of point source wetting pattern of subsurface drip irrigation” Irrigation Science , 29 , pp. 331–339 .
7. Avi, S ., and G. Sinai (2004) . “Application of conditioner solution by subsurface emitters for stabilizing the surrounding soil” Journal of irrigation and drainage engineering , Vol. 130 , No. 6 , pp. 485-490 .
8. Jiusheng, Li., and H. Ji (2007) . “Wetting Patterns and Nitrate Distributions in Layered Soils from a Surface Point Source” Agricultural Sciences in china , Vol.6 , Issue 8 , August , pp.970–980 .
9. Gee , G . W ., and J . W . Bauder (1986) . “Particle Size Analysis in Methods of Soil Analysis” Part 1 : Physical and Mineralogical Methods (2nd edition) , edited by Klute ., Am. Soc. Agron. Madison, WI. pp. 383-411.
10. Keller J, Bliesner RD (1990). “Sprinkle and trickle irrigation” Avi Book Pub. Van Nostrand Reinhold, New York.
- العادي ، محمد طارق خليل (2004) . ” حركة الماء وتوزيع الرطوبة في الري بالتنقيط تحت سطح التربة ” رسالة ماجستير ، مقدمة إلى كلية الهندسة ، جامعة الموصل ، شباط/2004 .
12. Ghosh, R . K . (1980) . “Modeling Infiltration” Soil Sc., Vol. 130 , No. , 6 , PP. 297 – 302 .

تم اجراء البحث في الكلية التقنية / الموصل